



# БИООРГАНИЧЕСКАЯ ХИМИЯ

том 13 \* № 3 \* 1987

УДК 547.455.623'261'175-323.057:543.422.23

## СИНТЕЗ И СПЕКТРЫ $^{13}\text{C}$ -ЯМР НИТРАТОВ МЕТИЛ- $\beta$ -D-ГЛЮКОПИРАНОЗИДА.

### МИГРАЦИЯ НИТРАТНЫХ ГРУПП ПРИ КИСЛОТНОМ ГИДРОЛИЗЕ

Фирсанов С. И., Шашков А. С., Усов А. И.,  
Марченко Г. Н., Сопин В. Ф.

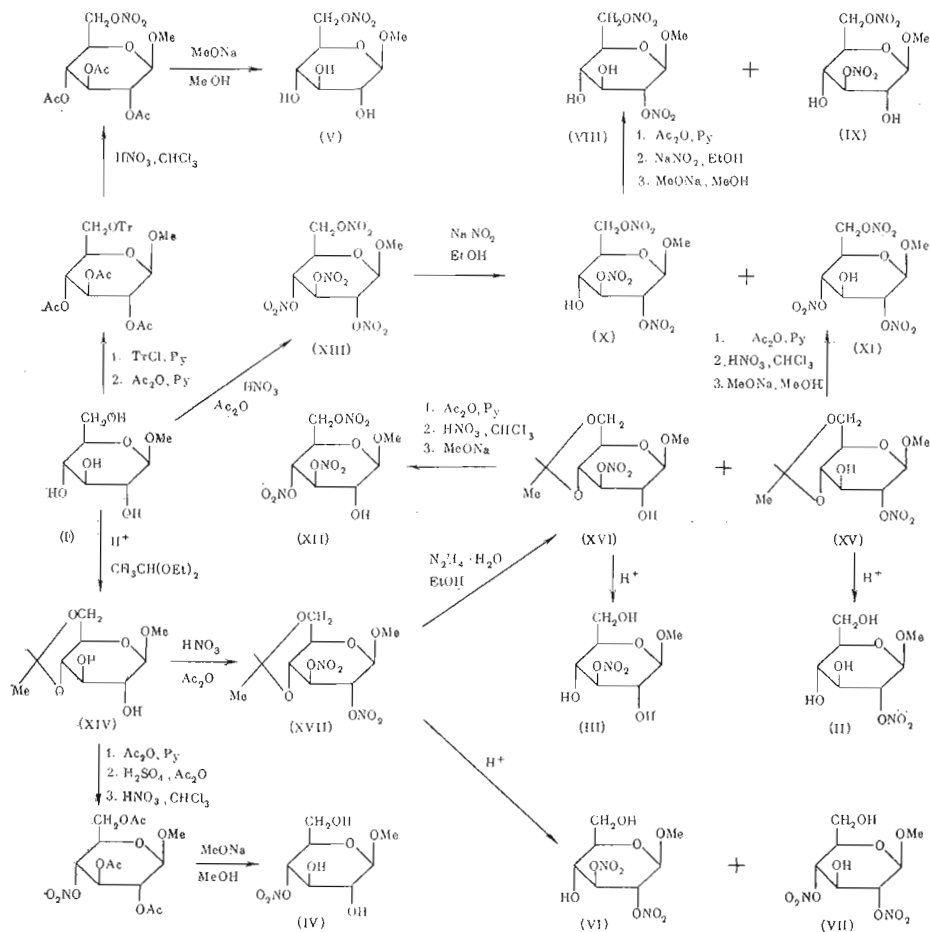
Институт органической химии им. И. Д. Зелинского  
Академии наук СССР, Москва

Получены и полностью расшифрованы спектры  $^{13}\text{C}$ -ЯМР для 12 нитратов метил- $\beta$ -D-глюкопиранозида и трех нитратов метил-4,6-O-этилиден- $\beta$ -D-глюкопиранозида, различающихся степенью замещения и (или) положением нитратных групп. Определены изменения химических сдвигов сигналов атомов углерода, вызываемые введением нитратных групп в различные положения моносахаридного остатка. Показано, что изменение химического сдвига сигнала C-1 при введении нитратной группы к C-2 зависит от ориентации заместителя при C-1. Обнаружена миграция нитратных групп в условиях удаления 4,6-O-этилиденовой группировки; показано, что аналогичная миграция нитратных групп, расположенных у C-2, C-3 или C-4, на свободную гидроксильную группу у соседнего атома углерода происходит при обработке соответствующих нитратов метил- $\beta$ -D-глюкопиранозида кислотой в водном ацетоне.

В предыдущей работе [1] на примере девяти нитратов метил- $\alpha$ -D-глюкопиранозида и трех нитратов метил-4,6-O-этилиден- $\alpha$ -D-глюкопиранозида было показано, что спектроскопия  $^{13}\text{C}$ -ЯМР может служить удобным и надежным методом установления строения нитратов моносахаридов. Было высказано предположение о слабом влиянии взаимной ориентации заместителей при  $\alpha$ - и  $\beta$ -углеродных атомах на изменение положения сигнала  $\beta$ -углеродного атома в результате нитрации по  $\alpha$ -углеродному атому. Для проверки этого предположения, а также учитывая отсутствие в литературе данных по спектроскопии  $^{13}\text{C}$ -ЯМР соединений, моделирующих нитраты целлюлозы с различной степенью замещения, мы в данной работе рассмотрели характерные особенности спектров  $^{13}\text{C}$ -ЯМР нитратов моносахаридов на примере производных метил- $\beta$ -D-глюкопиранозида.

Соединения (III), (VI), (X), (XII)–(XVII) были синтезированы по известным методикам (схема). Синтез остальных соединений обсуждается ниже. Последовательность превращений показана на общей схеме синтеза. Существуют два основных подхода к синтезу нитратов метилгликозидов. Первый заключается во введении нитратной группы в избирательно защищенный моносахарид с последующим удалением защитных групп действием оснований или кислот, а второй – в частичном селективном или неселективном удалении «лишних» нитратных групп. В данной работе мы использовали оба этих подхода или их комбинацию.

Соединения (IV) и (V) были получены дезацетилированием ацетатов этих соединений, синтезированных как описано в работах [2, 3]. Соединение (XI) было получено по аналогии с описанным в работе [4] синтезом соединения (XII). Ацетилирование 4,6-O-этилиденового производного (XV) с последующей нитрацией и дезацетилированием приводило к соединению (XII). Гидролиз соединений (XVI) и (XVII) серной кислотой в водном ацетоне с целью удаления 4,6-O-этилиденовой группы описан в этой работе [4] без упоминания о каких-либо побочных реакциях. Однако нами были сделаны следующие наблюдения. При гидролизе соединения (XV) была получена смесь соединений (II) и (III) примерно в равном соотношении. Гидролиз соединения (XVI) приводил к смеси соединений (XVII) и (XVIII).



нений (III) и (IV) в соотношении 3 : 1, а при гидролизе соединения (XVII) кроме соединения (VI), полученного с выходом 60%, были выделены с выходами 2% 2,4-динитрат (VII) и 4-нитрат метил-2,3-ангидро- $\beta$ -D-маннопиранозида.

Для того чтобы проверить, происходит ли миграция нитратных групп только в процессе снятия 4,6-О-этилиденовой группы или это независимое явление, мы обработали соединения (II)–(V) серной кислотой в водном ацетоне. Состав образцов, полученных после нейтрализации растворов, определяли методом высокоэффективной жидкостной хроматографии (ВЭЖХ). Образец, полученный из 2-нитрата (II), содержал 2-нитрат (II) и 3-нитрат (III) в соотношении 18,2 : 1,0. Образец, полученный из 3-нитрата (III), содержал 2-нитрат (II), 3-нитрат (III) и 4-нитрат (IV) в соотношении 1,0 : 29,0 : 1,1. Образец, полученный из 4-нитрата (IV), содержал 3-нитрат (III) и 4-нитрат (IV) в соотношении 1,0 : 13,0. Образец, полученный из 6-нитрата (V), содержал только исходное соединение. Образцы, полученные при обработке соединений (II)–(V) 0,1; 0,5 и 1,5 н. серной кислотой, содержали только исходные соединения. Соединение (VI) было обработано в условиях гидролиза соединения (XVII), и в полученном образце методами спектроскопии  $^{13}\text{C}$ -ЯМР и ВЭЖХ были идентифицированы 2-нитрат (II), 3-нитрат (III), 2,3-динитрат (VI) и 2,4-динитрат (VII) в соотношении 1,0 : 1,3 : 15,8 : 5,7.

Изложенные выше факты показывают, что в условиях кислотного гидролиза в присутствии ацетона наблюдается миграция нитратных групп, расположенных у вторичных атомов углерода C-2, C-3 или C-4, на свободную гидроксильную группу у соседнего атома углерода. В то же время при обработке тех же нитратов водным раствором кислоты миграция не происходит. До настоящего времени, поскольку нам известно,

миграция нитратных групп в литературе не отмечалась; условия и механизм этого интересного явления, несомненно, заслуживают дальнейшего более подробного исследования.

В работе [5] было найдено, что реакция тетранитрата (XIII) с  $\text{NaNO}_2$  при кипячении в 80% спирте в течение 5 ч дает 2,3,6-тринитрат (X) и неидентифицированный сироп, который вымывается с колонки после основного продукта. Уменьшив время реакции до 4 ч, мы получили следующие соединения, перечисленные в порядке элюции с колонки с силикагелем (в скобках выход в %): 2,4,6-тринитрат (XI) (22,7); 2,3,6-три-нитрат (X) (59,2); 3,6-динитрат (IX) (3,5); 2,6-динитрат (VIII) (5,2). Мы также обработали  $\text{NaNO}_2$  4-O-ацетат 2,3,6-тринитрата (X) и получили после дезацетилирования смесь 2,6-динитрата (VIII) и 3,6-динитрата (IX) в соотношении 4 : 1 (по данным  $^{13}\text{C}$ -ЯМР). Таким образом, под действием  $\text{NaNO}_2$  наиболее легко снималась нитратная группа при C-4, хуже — нитратная группа при C-3 и еще труднее — при C-2. В то же время, как было показано Ханимелом [6], реакция конформационно более жесткого соединения (XVII) с  $\text{NaNO}_2$  в этих условиях приводила только к 3-нитрату (XVI), т. е. к селективному снятию нитратной группы при C-2. Эти данные показывают, что чувствительность к  $\text{NaNO}_2$  нитратных групп, расположенных у вторичных атомов углерода, может изменяться в широких пределах.

Описанные ранее соединения охарактеризованы сравнением их констант с литературными данными; кроме того, для веществ получены масс-спектры\*, подтверждающие молекулярную массу, и спектры  $^1\text{H}$ -ЯМР, необходимые при интерпретации спектров  $^{13}\text{C}$ -ЯМР с помощью селективного двойного резонанса  $^{13}\text{C}-^1\text{H}$ . Протонные спектры в свою очередь были расшифрованы с применением методики селективного гомоядерного двойного резонанса (параметры спектров ПМР приведены в «Экспериментальной части»).

Анализ химических сдвигов сигналов атомов углерода в спектрах  $^{13}\text{C}$ -ЯМР соединений (I)–(XVII) (табл. 1) позволяет сделать следующие заключения по влиянию нитратных групп на положение сигналов углеродных атомов в производных метил- $\beta$ -D-глюкопиранозида (см. также табл. 2 и 3).

1. Замена протона гидроксильной группы на  $\text{NO}_2$ -группу вызывает смещение сигнала  $\alpha$ -углеродного атома в низкое поле (положительный  $\alpha$ -эффект), величина которого зависит от наличия или отсутствия нитратных групп при соседних атомах углерода: если при соседнем атome углерода нет нитратной группы,  $\alpha$ -эффекты лежат в интервале 8,6–10,9 м. д.; если же соседний атом углерода несет нитратную группу,  $\alpha$ -эффекты систематически меньше по абсолютной величине и находятся в интервале 6,6–8,9 м. д. Наименьшие значения  $\alpha$ -эффектов — 6,6 м. д. для C-2, 7,8 м. д. для C-3 и 7,55 м. д. для C-4 — наблюдаются при переходах от тринитратов (X)–(XII) к тетранитрату (XIII). При нитрации по C-2  $\alpha$ -эффекты для данного ряда соединений меньше на 0,5–0,7 м. д., а при нитрации по C-3 — на 1,0–1,1 м. д., чем в ряду нитратов метил- $\alpha$ -D-глюкопиранозида [1] (за исключением 2-нитратов 4,6-O-этилиденовых производных). Широкий диапазон значений  $\alpha$ -эффектов говорит о необходимости учитывать для его объяснения иные факторы, кроме электроотрицательности заместителей, например влияние флуктуирующих полей диполей (ср. [7, 8]), создаваемых нитратными группами.

\* Подробному рассмотрению масс-спектров нитратов моносахаридов будет посвящено отдельное сообщение.

\*\* Этот прием не позволил ранее [1] однозначно отнести сигналы C-1 и C-7 (C-7 — ацетальный углеродный атом) в спектрах  $^{13}\text{C}$ -ЯМР метил-4,6-O-этилиден- $\alpha$ -D-глюкопиранозида и его 3-нитрата, поскольку сигналы H-1 и H-7 в спектрах ПМР этих соединений перекрываются. Однако в спектрах  $^{13}\text{C}$ -ЯМР, полученных без подавления спин-спинового взаимодействия с протонами, сигналы C-1 и C-7 различаются тонкой структурой (дл и дт соответственно). В соответствии с этими данными сигнал C-1 в спектрах названных соединений имеет химический сдвиг 101,4–101,5 м.д., а C-7 — 100,0–100,1 м.д., т. е. отнесение этой пары сигналов, предложенное в нашей предыдущей работе [1], должно быть изменено на обратное.

Химические сдвиги сигналов атомов углерода в спектрах  $^{13}\text{C}$ -ЯМР нитратов  
 (II)–(XII) метил- $\beta$ -D-глюкопиранозида (I) и нитратов (XV)–(XVII)  
 метил-4,6-O-этилиден- $\beta$ -D-глюкопиранозида (XIV)

Соединение	Положение $\text{ONO}_2$ -группы	Расторвитель *	C-1	C-2	C-3	C-4	C-5	C-6	$\text{OCH}_3$	C-7 **	$\text{CH}_3$
(I)	—	а	104,3	74,1	76,9	70,7	76,9	61,9	57,5		
(II)	C-2	а	101,05	83,0	73,1	71,1	76,9	61,4	57,1		
		б	101,6	83,8	74,2	72,3	77,6	62,5	56,95		
(III)	C-3	а	104,0	71,4	87,2	67,8	76,6	61,2	57,35		
		б	104,8	72,3	88,3	68,6	77,2	62,2	57,0		
(IV)	C-4	а	103,8	74,0	73,6	80,0	73,1	60,8	57,3		
(V)	C-6	а	104,1	73,7	76,5	70,5	73,1	72,8	56,9		
		б	104,85	74,5	77,6	71,2	73,65	73,4	56,8		
(VI)	C-2, C-3	б	101,6	79,7	83,1	69,4	77,3	61,8	57,3		
(VII)	C-2, C-4	а	100,9	82,6	70,3	80,0	73,3	60,6	57,3		
		б	101,4	83,3	71,1	80,65	73,95	61,6	57,3		
(VIII)	C-2, C-6	а	101,0	82,5	72,8	71,1	73,2	72,2	56,9		
		б	101,4	83,3	73,8	72,0	73,8	72,9	57,0		
(IX)	C-3, C-6	а	104,0	71,2	86,6	67,9	73,0	72,0	57,2		
		б	104,9	72,3	87,65	68,7	73,8	72,8	57,1		
(X)	C-2, C-3, C-6	б	101,6	79,3	82,4	69,35	73,7	72,15	57,4		
(XI)	C-2, C-4, C-6	б	101,35	82,85	71,0	80,35	70,2	71,6	57,35		
(XII)	C-3, C-4, C-6	б	104,45	72,5	83,3	76,9	70,1	71,45	57,3		
(XIII)	C-2, C-3, C-4, C-6	б	101,4	79,1	78,8	76,9	70,35	71,1	57,7		
(XIV)	—	б	105,4	75,6	74,2	81,3	67,0	68,7	56,9	99,9	20,1
(XV)	C-2	б	102,15	84,2	71,15	81,65	67,1	68,5	57,2	100,2	20,5
(XVI)	C-3	б	105,45	72,5	83,9	78,0	66,7	68,55	57,3	100,05	20,45
(XVII)	C-2, C-3	б	102,3	79,4	79,5	78,5	66,7	68,4	57,6	100,4	20,45

\* Растворитель: а — смесь ацетон- $d_6$  —  $\text{D}_2\text{O}$ , 2 : 1; б — ацетон- $d_6$ .

\*\* C-7 — ацетальныи углеродный атом в 4,6-O-этилиденовых производных.

2. Замена протона гидроксильной группы на  $\text{NO}_2$ -группу вызывает смещение сигналов соседних атомов углерода в высокое поле (отрицательные  $\beta$ -эффекты).  $\beta$ -Эффекты нитрации неаддитивны; их величина зависит от наличия или отсутствия нитратной группы при атоме углерода, на котором наблюдается  $\beta$ -эффект: при отсутствии нитратной группы  $\beta$ -эффекты лежат в интервале 2,2–3,8 м.д., тогда как для углеродных атомов, несущих нитратную группу,  $\beta$ -эффекты примерно вдвое больше по абсолютной величине (4,0–5,25 м.д.). Следует отметить, что на величины  $\beta$ -эффектов влияет степень нитрации. Так, при переходах от тринитратов (X)–(XII) к тетранитрату (XIII)  $\beta$ -эффекты для углеродных атомов, несущих нитратную группу, уменьшаются по абсолютной величине и принимают промежуточные значения (3,6–4,5 м.д.).

3. Смещения сигналов  $\gamma$ -углеродных атомов при замене протона гидроксильной группы на  $\text{NO}_2$ -группу нерегулярины по величине и направлению, за исключением двух случаев: при нитрации по C-4 наблюдается отрицательный  $\gamma$ -эффект на C-6 ( $-0,8$ – $-1,35$  м.д.); при нитрации по C-2 наблюдается положительный  $\gamma$ -эффект на C-4 (0,4–0,8 м.д.), однако он отсутствует, когда у C-4 находится нитратная группа. Более дальние эффекты также нерегуляриры по величине и направлению, за исключением следующего: нитрация по C-3 и C-2 вызывает отрицательные  $\delta$ - и  $\epsilon$ -эффекты на C-6, величина которых зависит от заместителя при C-4 (0,4–0,75 м.д. при наличии, но 0,2–0,5 м.д. при отсутствии у C-4 нитратной группы); в случае 4,6-O-этилиденовых производных эти эффекты менее значительны (0,1–0,2 м.д.).

Таблица 2

Влияние  $\text{ONO}_2$ -групп на химические сдвиги сигналов атомов углерода  
в спектрах  $^{13}\text{C}$ -ЯМР производных метил- $\beta$ -D-глюкопиранозида

Переход	Раст- вори- тель *	Эффекты, м. д. **		
		$\alpha$	$\beta$	$\gamma$
(I) $\rightarrow$ (II)	а	+8,9 (2)	-3,25 (1); -3,8 (3)	+0,4 (4)
(V) $\rightarrow$ (VIII)	а	+8,8 (2)	-3,1 (1); -3,7 (3)	+0,6 (4)
(V) $\rightarrow$ (VIII)	б	+8,8 (2)	-3,45 (1); -3,8 (3)	+0,8 (4)
(IV) $\rightarrow$ (VII)	а	+8,6 (2)	-2,9 (1); -3,3 (3)	0 (4)
(III) $\rightarrow$ (VI)	б	+7,4 (2)	-3,2 (1); -5,2 (3)	+0,8 (4)
(IX) $\rightarrow$ (X)	б	+7,0 (2)	-3,3 (1); -5,25 (3)	+0,65 (4)
(XII) $\rightarrow$ (XIII)	б	+6,6 (2)	-3,05 (1); -4,5 (3)	0 (4)
(XIV) $\rightarrow$ (XV)	б	+8,6 (2)	-3,25 (1); -3,05 (3)	+0,35 (4)
(XVI) $\rightarrow$ (XVII)	б	+6,9 (2)	-3,15 (1); -4,4 (3)	+0,5 (4)
(I) $\rightarrow$ (III)	а	+10,3 (3)	-2,7 (2); -2,9 (4)	-0,3 (1); -0,3 (5)
(V) $\rightarrow$ (IX)	а	+10,1 (3)	-2,5 (2); -2,6 (4)	-0,1 (1); -0,1 (5)
(V) $\rightarrow$ (IX)	б	+10,05 (3)	-2,2 (2); -2,5 (4)	+0,05 (1); +0,15 (5)
(III) $\rightarrow$ (VI)	б	+8,9 (3)	-4,1 (2); -2,9 (4)	0 (1); -0,3 (5)
(VIII) $\rightarrow$ (X)	б	+8,6 (3)	-4,0 (2); -2,65 (4)	+0,2 (1); -0,1 (5)
(XI) $\rightarrow$ (XIII)	б	+7,8 (3)	-3,75 (2); -3,75 (4)	+0,05 (1); +0,15 (5)
(XIV) $\rightarrow$ (XVI)	б	+9,7 (3)	-3,1 (2); -3,3 (4)	+0,05 (1); -0,3 (5)
(XV) $\rightarrow$ (XVII)	б	+8,35 (3)	-4,8 (2); -3,15 (4)	+0,15 (1); +0,6 (5)
(I) $\rightarrow$ (IV)	а	+9,3 (4)	-3,3 (3); -3,8 (5)	-0,1 (2); -1,1 (6)
(II) $\rightarrow$ (VII)	а	+8,9 (4)	-2,8 (3); -3,6 (5)	-0,4 (2); -0,8 (6)
(II) $\rightarrow$ (VII)	б	+8,35 (4)	-3,1 (3); -3,65 (5)	-0,5 (2); -0,9 (6)
(VIII) $\rightarrow$ (XI)	б	+8,35 (4)	-2,8 (3); -3,6 (5)	-0,45 (2); -1,3 (6)
(IX) $\rightarrow$ (XII)	б	+8,2 (4)	-4,35 (3); -3,7 (5)	+0,2 (2); -1,35 (6)
(X) $\rightarrow$ (XIII)	б	+7,55 (4)	-3,6 (3); -3,35 (5)	-0,2 (2); -1,05 (6)
(I) $\rightarrow$ (V)	а	+10,9 (6)	-3,8 (5)	-0,2 (4)
(II) $\rightarrow$ (VIII)	б	+10,4 (6)	-3,8 (5)	-0,3 (4)
(III) $\rightarrow$ (IX)	б	+10,6 (6)	-3,4 (5)	+0,1 (4)
(VI) $\rightarrow$ (X)	б	+10,35 (6)	-3,6 (5)	-0,05 (4)
(VII) $\rightarrow$ (XI)	б	+10,0 (6)	-3,75 (5)	-0,3 (4)
(II) $\rightarrow$ (VIII)	а	+10,8 (6)	-3,7 (5)	0 (4)
(III) $\rightarrow$ (IX)	а	+10,8 (6)	-3,6 (5)	+0,1 (4)

\* Растворитель: а — смесь ацетон- $d_6$  —  $D_2\text{O}$ , 2 : 1; б — ацетон- $d_6$ .

\*\* В скобках приведен номер углеродного атома, для сигнала которого наблюдается данный эффект.

Таблица 3

Влияние  $\text{ONO}_2$ -группы при С-2 на химические сдвиги сигналов атомов углерода в спектрах  $^{13}\text{C}$ -ЯМР производных метил- $\beta$ - и  $\alpha$ -D-глюкопиранозидов

Переход	Конфигура- ция у С-1	Эффекты, м. д.		
		$\alpha$	$\beta$	$\gamma$
(I) $\rightarrow$ (II) *	$\beta$	+9,7 (2)	-2,7 (1); -2,7 (3)	+1,6 (4)
	$\alpha$	+10,4 (2)	-3,1 (1); -2,9 (3)	+1,5 (4)
(III) $\rightarrow$ (VI)	$\beta$	+7,4 (2)	-3,2 (1); -5,2 (3)	+0,8 (4)
	$\alpha$	+8,0 (2)	-3,7 (1); -5,4 (3)	+0,3 (4)
(XII) $\rightarrow$ (XIII)	$\beta$	+6,6 (2)	-3,05 (1); -4,5 (3)	0 (4)
	$\alpha$	+7,1 (2)	-3,6 (1); -4,7 (3)	-0,3 (4)
(XIV) $\rightarrow$ (XV)	$\beta$	+8,6 (2)	-3,25 (1); -3,05 (3)	+0,35 (4)
	$\alpha$	+8,6 (2)	-3,6 (1); -3,6 (3)	-0,1 (4)
(XVI) $\rightarrow$ (XVII)	$\beta$	+6,9 (2)	-3,15 (1); -4,4 (3)	+0,5 (4)
	$\alpha$	+7,2 (2)	-3,7 (1); -5,0 (3)	0 (4)

\* Спектры соединений (I) сняты в смеси ацетон- $d_6$  —  $D_2\text{O}$ , а всех остальных в ацетоне- $d_6$ .

4. При нитрации по С-2 величина  $\beta$ -эффекта на С-1 для  $\alpha$ -аномера систематически больше по абсолютной величине на 0,4–0,55 м. д., чем для  $\beta$ -аномера. Такое различие совпадает по направлению с изменением  $\beta$ -эффекта в случае 2-O-метиловых эфиров метилглюкопиранозидов, где  $\beta$ -эффект изменяется от 0 м. д. для  $\beta$ -аномера до 2,6 м. д. для  $\alpha$ -аномера [9], но значительно меньше по абсолютной величине. Это говорит о слабой зависимости  $\beta$ -эффекта на С-1 при нитрации по С-2 от ориентации метоксильной группы при С-1.

В целом материал настоящей работы еще раз подтверждает, что спектроскопия  $^{13}\text{C}$ -ЯМР — чрезвычайно мощный метод установления строения нитратов моносахаридов. Спектральные характеристики изученных соединений можно использовать также для расшифровки спектров  $^{13}\text{C}$ -ЯМР частично замещенных нитратов цеплюз, хотя очевидно, что выяснение взаимного влияния соседних звеньев полимерной молекулы потребует дальнейшего исследования модельных нитратов олигосахаридов.

### Экспериментальная часть

Спектры  $^1\text{H}$ - и  $^{13}\text{C}$ -ЯМР снимали на спектрометре Bruker WM-250 с рабочей частотой по углероду 62,89 МГц. В качестве растворителя использовали ацетон- $d_6$  или смесь ацетон- $d_6$  –  $D_2\text{O}$  в соотношении 2 : 1. Химические сдвиги даны в  $\delta$ -шкале; внутренний стандарт — гексаметилдисилоксан (1,9 м.д.) или ацетон- $d_6$  (29,8 м.д.). Масс-спектры снимали на масс-спектрометре Varian MAT CH-6 с прямым вводом образца. Оптическое вращение измеряли на автоматическом поляризаторе Perkin – Elmer 411.

ВЭЖХ проводили на хроматографе Altex 332, снабженном спектрофотометрическим детектором Knauer (рабочая длина волны 220 нм), колонка Alltech C-18, 10 мкм (25×0,46 см), скорость элюента 1,5 мл/мин, элюенты: вода, содержащая 1% метанола (условия А), или 50% водный метанол (условия Б). Времена удерживания (мин): соединение (II) – 17,6 (А), 3,0 (Б); соединение (III) – 6,5 (А), 2,6 (Б); соединение (IV) – 10,8 (А); соединение (V) – 15,1 (А); соединение (VI) – 4,0 (Б); соединение (VII) – 6,9 (Б).

ТСХ проводили на пластинах Silufol (ЧССР) в системах растворителей: хлороформ – ацетон, 9 : 1 (А), бензол – метилэтилкетон, 4 : 1 (Б), метилэтилкетон (В). Вещества обнаруживали при осторожном нагревании пластинок до появления пятен. Препаративную хроматографию проводили на колонках с силикагелем марки L 40/100 мкм (ЧССР).

Кислотную обработку соединений (II)–(V) проводили 0,4; 0,5 или 1,5 н. серной кислотой или смесью ацетон – вода – серная кислота, 40 : 20 : 1 (модуль 1 к 100) в течение 3 ч при 60° С, нейтрализовали  $\text{BaCO}_3$  или анионитом Dowex 1×8 в  $\text{HCO}_3^-$ -форме. Растворы упаривали в вакууме при 35–40° С.

*Метил-4,6-O-этилиден- $\beta$ -D-глюкопиранозид (XIV)* получали по методу [4], т. пл. 187–188° С (из этанола),  $[\alpha]_D^{26} -80,0^\circ$  (с 1,0; вода); лит. данные [4]: т. пл. 188–189° С,  $[\alpha]_D^{20} -79,4^\circ$  (с 1,9; вода).  $^1\text{H}$ -ЯМР: H-1 (4,26, д, 1Н,  $J_{1,2}$  7,1); H-2, H-4, H-5 (м с центром 3,22, 3Н); H-3 (3,54, т, 1Н,  $J_{2,3} = J_{3,4} = 8,6$ ); H-6 (4,03, дд, 1Н,  $J_{5,6}$  4,0;  $J_{6,6'}$  9,6); H-6' (3,47, т, 1Н,  $J_{5,6'} = 9,6$ ); H-7 (4,71, к, 1Н,  $J_{7,\text{CH}_3}$  4,7);  $\text{CH}_3$  (1,23, д, 3Н);  $\text{OCH}_3$  (3,42, с, 3Н). Масс-спектр ацетата соединения (XIV),  $m/z$ : 303 ( $M-1$ ), 289 ( $M-15$ ), 273 ( $M-31$ ).

*2,3-Динитрат метил-4,6-O-этилиден- $\beta$ -D-глюкопиранозида (XVII)* получали по методу [4], т. пл. 87,5–88° С (из этанола),  $[\alpha]_D^{26} -21,5^\circ$  (с 1,0;  $\text{CHCl}_3$ ); лит. данные [4]: т. пл. 88–89° С,  $[\alpha]_D^{20} -20,3^\circ$  (с 1,0;  $\text{CHCl}_3$ ). Масс-спектр,  $m/z$ : 309 ( $M-1$ ), 295 ( $M-15$ ), 279 ( $M-31$ ).  $^1\text{H}$ -ЯМР: H-1 (4,86, д, 1Н,  $J_{1,2}$  7,7); H-2 (5,21, дд, 1Н,  $J_{2,3}$  9,8); H-3 (5,69, т, 1Н,  $J_{3,4}$  9,8); H-4 (3,83, м, 1Н); H-5, H-6' (м с центром 3,65, 2Н); H-6 (4,21, м, 1Н); H-7 (4,83, к, 1Н,  $J_{7,\text{CH}_3}$  5,1);  $\text{CH}_3$  (1,26, д, 3Н);  $\text{OCH}_3$  (3,51, с, 3Н).

*3-Нитрат метил-4,6-O-этилиден- $\beta$ -D-глюкопиранозида (XVI)* получали по методу [9] или [10], т. пл. 147,5–148,5° С (из этанола),  $[\alpha]_D^{26} -28,2^\circ$  (с 1,69;  $\text{CHCl}_3$ ); лит. данные [4]; т. пл. 147–148° С,  $[\alpha]_D^{19} -30,6^\circ$  (с 1,69;  $\text{CHCl}_3$ ). Масс-спектр,  $m/z$ : 264 ( $M-1$ ), 250 ( $M-15$ ), 234 ( $M-31$ ).  $^1\text{H}$ -ЯМР: H-1 (4,59, д, 1Н,  $J_{1,2}$  7,3); H-2 (3,48, дд, 1Н); H-3 (5,35, т, 1Н,  $J_{2,3} = J_{3,4} = 9,2$ ); H-4, H-5, H-6' (м с центром 3,53, 3Н); H-6 (4,14, м, 1Н); H-7 (4,77, к, 1Н,  $J_{7,\text{CH}_3}$  4,9);  $\text{CH}_3$  (1,24, д, 3Н);  $\text{OCH}_3$  (3,47, с, 3Н).

*2-Нитрат метил-4,6-O-этилиден-β-D-глюкопиранозида* (XV) получали по методу [10], т. пл. 149,5–150,5°C (из этанола),  $[\alpha]_D^{20} -41,2^\circ$  (с 1,0;  $\text{CHCl}_3$ ); лит. данные [10]: т. пл. 144°C,  $[\alpha]_D^{20} -43,8^\circ$  (с 1,0;  $\text{CHCl}_3$ ). Масс-спектр,  $m/z$ : 264 ( $M-1$ ), 250 ( $M-15$ ), 234 ( $M-31$ ).  $^1\text{H}$ -ЯМР: H-1 (4,56, д, 1H,  $J_{1,2}$  7,8); H-2 (4,94, дд, 1H,  $J_{2,3}$  9,1); H-3 (3,85, т, 1H,  $J_{3,4}$  9,1); H-4, H-5 (м с центром 3,38, 2H); H-6 (4,11, дд, 1H,  $J_{5,6}$  4,4;  $J_{6,6'}$  10,0); H-6' (3,55, т, 1H); H-7 (4,76, к, 1H,  $J_{7, \text{сп}}$  4,9);  $\text{CH}_3$  (1,25, д, 3H);  $\text{OCH}_3$  (3,44, с, 3H).

*2-Нитрат метил-β-D-глюкопиранозида* (II). К раствору 0,35 г 4,6-O-этилиденового производного (XV) в 4 мл ацетона приливали 2 мл воды и 0,2 мл конц.  $\text{H}_2\text{SO}_4$  и кипятили с обратным холодильником в течение 3 ч. Раствор охлаждали, нейтрализовали  $\text{BaCO}_3$ , осадок отфильтровывали и раствор упаривали досуха. Остаток хроматографировали на силикагеле (элюция градиентная,  $\text{CHCl}_3$  – ацетон), получали 0,13 г (44,8%) 3-нитрата (III),  $R_f$  0,78 (B), и 0,12 г (41,4%) соединения (II),  $R_f$  0,70 (B), сироп,  $[\alpha]_D^{20} -18,5^\circ$  (с 3,0; ацетон).  $^1\text{H}$ -ЯМР: H-1 (4,43, д, 1H,  $J_{1,2}$  8,1); H-2 (4,84, дд, 1H,  $J_{2,3}$  9,6); H-3 (3,62, т, 1H); H-4 (3,48, т, 1H,  $J_{3,4}=J_{4,5}$  9,6); H-5 (3,35, дд, 1H,  $J_{5,6}$  2,5;  $J_{5,6'}$  5,3); H-6 (3,67, дд, 1H); H-6' (3,83, дд, 1H,  $J_{6,6'}$  12,0);  $\text{OCH}_3$  (3,43, с, 3H). Масс-спектр ацетата соединения (II),  $m/z$ : 292 ( $M-\text{CH}_2\text{OAc}$ ), 252 ( $M-\text{CH}_3\text{CHONO}_2$ ).

*3-Нитратметил-β-D-глюкопиранозида* (III). Кислотный гидролиз 0,85 г соединения (XVI) проводили как описано в литературе [4]. Остаток хроматографировали на силикагеле (элюция градиентная,  $\text{CHCl}_3$  – ацетон), получали 0,27 г (35%) соединения (III),  $R_f$  0,78 (B), т. пл. 76–78°C (из этанола – петролейного эфира),  $[\alpha]_D^{20} -16,5^\circ$  (с 0,53; этанол); лит. данные [4]: т. пл. 102–104°C  $[\alpha]_D^{19} -16,1^\circ$  (с 0,53; этанол).  $^1\text{H}$ -ЯМР: H-1 (4,38, д, 1H,  $J_{1,2}$  7,6); H-2 (3,40, дд, 1H,  $J_{2,3}$  9,6); H-3 (5,22, т, 1H,  $J_{3,4}$  9,6); H-4 (3,64, т, 1H,  $J_{4,5}$  9,6); H-5 (3,48, дд, 1H,  $J_{5,6}$  2,6;  $J_{5,6'}$  4,8); H-6 (3,88, дд, 1H,  $J_{6,6'}$  11,9); H-6' (3,75, дд, 1H);  $\text{OCH}_3$  (3,49, с, 3H). Масс-спектр ацетата соединения (III),  $m/z$ : 334 ( $M-31$ ), 292 ( $M-\text{CH}_2\text{OAc}$ ).

При дальнейшей элюции получали 0,1 г (13,6%) соединения (IV),  $R_f$  0,72 (B).

*4-Нитрат метил-β-D-глюкопиранозида* (IV). К раствору 0,5 г ацетата соединения (IV), полученного по методу [2], в 10 мл абс. метанола прибавляли две капли 2 н.  $\text{MeONa}$  в метаноле, встряхивали до растворения и выдерживали 30 мин при 20°C. Раствор нейтрализовали катионитом КУ-2 ( $\text{H}^+$ ), фильтровали и упаривали досуха. Получали 0,29 г (90%) соединения (IV),  $R_f$  0,72 (B), т. пл. 191–192°C (из этанола),  $[\alpha]_D^{21} -21,3^\circ$  (с 1,0; ацетон). Найдено, %: С 35,03; Н 5,50; N 5,88.  $\text{C}_7\text{H}_{13}\text{NO}_8$ . Вычислено, %: С 35,15; Н 5,44; N 5,86.  $^1\text{H}$ -ЯМР: H-1 (4,27, д, 1H,  $J_{1,2}$  8,0); H-2 (3,27, дд, 1H,  $J_{2,3}$  9,2); H-3 (3,64, т, 1H,  $J_{3,4}$  9,2); H-4 (5,09, т, 1H,  $J_{4,5}$  9,2); H-5 (3,53, дд, 1H,  $J_{5,6}$  2,7;  $J_{5,6'}$  4,8); H-6 (3,67, дд, 1H,  $J_{6,6'}$  11,7); H-6' (3,62, дд, 1H);  $\text{OCH}_3$  (3,45, с, 3H). Масс-спектр ацетата соединения (IV),  $m/z$ : 303 ( $M-\text{ONO}_2$ ), 292 ( $M-\text{CH}_2\text{OAc}$ ).

*6-Нитрат метил-β-D-глюкопиранозида* (V). 0,5 г ацетата соединения (V), полученного по методу [3], дезацетилировали как описано выше и получали 0,32 г (98%) соединения (V),  $R_f$  0,62 (B), сироп,  $[\alpha]_D^{20} -11,5^\circ$  (с 2,75; ацетон).  $^1\text{H}$ -ЯМР: H-1 (4,22, д, 1H,  $J_{1,2}$  7,4); H-2 (3,17, дд, 1H,  $J_{2,3}$  8,7); H-3, H-4 (м с центром 3,38, 2H); H-5 (3,63, дд, 1H,  $J_{4,5}$  9,3;  $J_{5,6}$  2,1;  $J_{5,6'}$  6,6); H-6 (4,91, дд, 1H,  $J_{6,6'}$  12,1); H-6' (4,65, дд, 1H);  $\text{OCH}_3$  (3,41, с, 3H). Масс-спектр ацетата соединения (V),  $m/z$ : 334 ( $M-31$ ), 305 ( $M-\text{AcOH}$ ), 289 ( $M-\text{CH}_2\text{ONO}_2$ ).

*2,3-Динитрат метил-β-D-глюкопиранозида* (VI) и *2,4-динитрат метил-β-D-глюкопиранозида* (VII). Кислотный гидролиз 24 г соединения (XVII) проводили как описано в литературе [4]. Остаток хроматографировали на силикагеле (элюция градиентная,  $\text{CHCl}_3$  – ацетон), получали 0,45 г (2%) 4-нитрата метил-2,3-ангидро-β-D-манноциранозида,  $R_f$  0,21 (A),  $^{13}\text{C}$ -ЯМР-спектр: С-1 99,8; С-2, С-3 52,1 и 50,6; С-4 76,8; С-5 74,3; С-6 62,5;  $\text{OCH}_3$  56,4. Далее получали 0,43 г (2%) соединения (VII),  $R_f$  0,18 (A), т. пл. 167–168°C (из этанола),  $[\alpha]_D^{20} -13,1^\circ$  (с 1,0;  $\text{CHCl}_3$ ). Найдено, %: С 29,66;

H 4,38; N 9,87.  $C_7H_{11}N_2O_{10}$ . Вычислено, %: C 29,58; H 4,23; N 9,86.  $^1\text{H}$ -ЯМР: H-1 (4,58, д, 1H,  $J_{1,2}$  8,0); H-2 (5,08, дд, 1H,  $J_{2,3}$  9,7); H-3 (4,07, т, 1H,  $J_{3,4}$  9,2); H-4 (5,42, т, 1H,  $J_{4,5}$  9,6); H-5 (3,69, ддд, 1H,  $J_{5,6}$  2,5;  $J_{5,6'}$  4,1); H-6 (3,83, дд, 1H,  $J_{6,6'}$  11,5); H-6' (3,75, дд, 1H); OCH<sub>3</sub> (3,49, с, 3H). Масс-спектр ацетата соединения (VII),  $m/z$ : 337 ( $M-31$ ), 295 ( $M-\text{CH}_2\text{OAc}$ ).

При дальнейшей элюции получали 13,5 г (60%) соединения (VI),  $R_f$  0,11 (А), т. пл. 105,5–107°C (из этанола),  $[\alpha]_D^{20} -23,2^\circ$  (с 1,8; CHCl<sub>3</sub>); лит. данные [4]: т. пл. 106–107°C,  $[\alpha]_D^{20} -20,8^\circ$  (с 1,8; CHCl<sub>3</sub>).  $^1\text{H}$ -ЯМР: H-1 (4,75, д, 1H,  $J_{1,2}$  7,7); H-2 (5,08, дд, 1H,  $J_{2,3}$  10,0); H-3 (5,49, дд, 1H,  $J_{3,4}$  8,9); H-4 (3,91, т, 1H,  $J_{4,5}$  9,4); H-5 (3,62, ддд, 1H,  $J_{5,6}$  2,3;  $J_{5,6'}$  4,9); H-6 (3,95, дд, 1H,  $J_{6,6'}$  11,7); H-6' (3,79, дд, 1H); OCH<sub>3</sub> (3,50, с, 3H). Масс-спектр ацетата соединения (VI),  $m/z$ : 337 ( $M-31$ ), 295 ( $M-\text{CH}_2\text{OAc}$ ).

**2,4,6-Тринитрат метил- $\beta$ -D-глюкопиранозида (XI).** К раствору 0,25 г соединения (XV) в 2 мл абс. пиридина приливали 1 мл Ac<sub>2</sub>O и выдерживали при 20°C 12 ч. Раствор упаривали, трижды прибавляя толуол и гептан. Остаток растворяли в 2,5 мл абс. CHCl<sub>3</sub>, охлаждали до 0°C, приливали смесь 2,5 мл абс. CHCl<sub>3</sub> и 2,5 мл 100% HNO<sub>3</sub> и перемешивали при этой температуре 15 мин. Реакционную смесь выливали в 200 мл воды со льдом, хлороформный слой отделяли, промывали насыщенным водным раствором NaHCO<sub>3</sub>, сушили MgSO<sub>4</sub> и упаривали досуха. К остатку приливали 5 мл. абс. метанола, прибавляли каплю 2 н. раствора MeONa в метаноле, встряхивали до растворения и выдерживали 30 мин при 20°C. Раствор нейтрализовали катионитом KY-2 (H<sup>+</sup>), фильтровали и упаривали досуха. Остаток хроматографировали на силикагеле (элюция градиентная, бензол—метилэтилкетон), получали 0,16 г (51,6%) соединения (XI),  $R_f$  0,91 (Б), т. пл. 122–123°C (из CHCl<sub>3</sub>—петролейного эфира),  $[\alpha]_D^{20} -8,6^\circ$  (с 3,14; CHCl<sub>3</sub>). Найдено, %: C 25,92; H 3,31; N 13,23.  $C_7H_{11}N_3O_{12}$ . Вычислено, %: C 25,23; H 3,34; N 12,76.  $^1\text{H}$ -ЯМР: H-1 (4,67, д, 1H,  $J_{1,2}$  7,9); H-2 (5,14, дд, 1H,  $J_{2,3}$  9,6); H-3 (4,11, дд, 1H); H-4 (5,38, дд, 1H,  $J_{3,4}$  9,0;  $J_{4,5}$  10,0); H-5 (4,13, ддд, 1H); H-6 (4,94, дд, 1H,  $J_{5,6}$  2,7;  $J_{6,6'}$  12,2); H-6' (4,73, дд, 1H,  $J_{5,6'}$  5,2); OCH<sub>3</sub> (3,48, с, 3H). Масс-спектр ацетата соединения (XI),  $m/z$ : 325 ( $M-\text{NO}_2$ ), 295 ( $M-\text{CH}_2\text{ONO}_2$ ), 265 ( $M-\text{CH}_3\text{OCHONO}_2$ ).

**3,4,6-Тринитрат метил- $\beta$ -D-глюкопиранозида (XII)** получали по методу [4],  $R_f$  0,76 (Б), т. пл. 124,5–125°C (из CHCl<sub>3</sub>—петролейного эфира),  $[\alpha]_D^{20} +16,0^\circ$  (с 3,09; CHCl<sub>3</sub>); лит. данные [4]: т. пл. 117–118°C,  $[\alpha]_D^{19} +14^\circ$  (с 3,1; CHCl<sub>3</sub>).  $^1\text{H}$ -ЯМР: H-1 (4,59, д, 1H,  $J_{1,2}$  7,6); H-2 (3,71, дд, 1H,  $J_{2,3}$  9,3); H-3 (5,59, т, 1H,  $J_{3,4}$  9,5); H-4 (5,41, т, 1H,  $J_{4,5}$  9,7); H-5 (4,30, ддд, 1H,  $J_{5,6}$  3,0;  $J_{5,6'}$  5,2); H-6 (4,95, дд, 1H,  $J_{6,6'}$  12,3); H-6' (4,84, дд, 1H); OCH<sub>3</sub> (3,50, с, 3H). Масс-спектр ацетата соединения (XII),  $m/z$ : 340 ( $M-31$ ), 309 ( $M-\text{ONO}_2$ ), 295 ( $M-\text{CH}_2\text{ONO}_2$ ).

**2,3,4,6-Тетранитрат метил- $\beta$ -D-глюкопиранозида (XIII)** получали из соединения (I) по методу [11], т. пл. 115–117°C,  $[\alpha]_D^{20} +10,6^\circ$  (с 4,0; CHCl<sub>3</sub>); лит. данные [2]: т. пл. 116–118°C,  $[\alpha]_D^{17} +9,35^\circ$  (с 4,0; CHCl<sub>3</sub>).  $^1\text{H}$ -ЯМР: H-1 (4,96, д, 1H,  $J_{1,2}$  7,8); H-2 (5,55, дд, 1H,  $J_{2,3}$  9,8); H-3 (5,98, т, 1H,  $J_{3,4}$  9,5); H-4 (5,79, т, 1H,  $J_{4,5}$  9,8); H-5 (4,42, ддд, 1H,  $J_{5,6}$  2,9;  $J_{5,6'}$  5,1); H-6 (5,03, дд, 1H,  $J_{6,6'}$  12,6); H-6' (4,90, дд, 1H); OCH<sub>3</sub> (3,55, с, 3H).

**2,3,6-Тринитрат метил- $\beta$ -D-глюкопиранозида (X).** Реакцию 0,65 г соединения (XIII) с NaNO<sub>2</sub> проводили по методу [5] в течение 4 ч. Остаток хроматографировали на силикагеле (элюция градиентная, бензол—эфир), получали 0,13 г (22,7%) соединения (XI),  $R_f$  0,91 (Б), и 0,34 г (59,5%) соединения (X),  $R_f$  0,86 (Б), сироп,  $[\alpha]_D^{20} -9,6^\circ$  (с 3,0; CHCl<sub>3</sub>), лит. данные [5]:  $[\alpha]_D -10,8^\circ$  (с 1,1; CHCl<sub>3</sub>).  $^1\text{H}$ -ЯМР: H-1 (4,83, д, 1H,  $J_{1,2}$  7,8); H-2 (5,16, дд, 1H,  $J_{2,3}$  10,2); H-3 (5,55, дд, 1H,  $J_{3,4}$  8,5); H-4 (3,95, т, 1H,  $J_{4,5}$  9,8); H-5 (4,03, ддд, 1H); H-6 (4,99, дд, 1H,  $J_{5,6}$  1,8;  $J_{6,6'}$  12,2); H-6' (4,76, дд, 1H,  $J_{5,6'}$  5,6); OCH<sub>3</sub> (3,49, с, 3H). Масс-спектр ацетата соединения (X),  $m/z$ : 309 ( $M-\text{ONO}_2$ ), 295 ( $M-\text{CH}_2\text{ONO}_2$ ), 265 ( $M-\text{CH}_3\text{OCHONO}_2$ ).

При дальнейшей элюции получали 0,02 г (3,5%) соединения (IX),  $R_f$  0,61 (Б), и 0,03 г (5,2%) соединения (VIII),  $R_f$  0,53 (Б).

**2,6-Динитрат метил- $\beta$ -D-глюкопиранозида (VIII) и 3,6-динитрат метил-**

$\beta$ -D-глюкопиранозида (IX). 0,19 г соединения (X) ацетилировали, как при получении нитрата (XI). Остаток растворяли в 2,5 мл 80% этианола, прибавляли 0,21 г  $\text{NaNO}_2$  и кипятили с обратным холодильником в течение 6 ч. Раствор упаривали, экстрагировали хлороформом, экстракт промывали водой и упаривали досуха. Дезацетилирование проводили как описано выше. После хроматографии на силикагеле (элюция градиентная, бензол – эфир) получали 0,03 г (18,7%) соединения (IX),  $R_f$  0,61 (Б), т. пл. 150,5–151,5°C (из  $\text{CHCl}_3$  – петролейного эфира),  $[\alpha]_D^{20} -7,6^\circ$  (с 1,49; ацетон); лит. данные [12]: т. пл. 145–147°C,  $[\alpha]_D^{10} -7,8^\circ$  (с 4,7; ацетон).  $^1\text{H}$ -ЯМР: H-1 (4,46, д, 1H,  $J_{1,2}$  7,7); H-2 (3,43, дд, 1H,  $J_{2,3}$  9,6); H-3 (5,28, дд, 1H,  $J_{3,4}$  9,3); H-4 (3,67, дд, 1H,  $J_{4,5}$  9,6); H-5 (3,82, ддд, 1H,  $J_{5,6}$  2,3;  $J_{5,6'}$  6,1); H-6 (4,96, дд, 1H,  $J_{6,6'}$  11,9); H-6' (4,73, дд, 1H);  $\text{OCH}_3$  (3,46, с. 3H). Масс-спектр ацетата соединения (IX),  $m/z$ : 367 ( $M-1$ ), 337 ( $M-31$ ), 292 ( $M-\text{CH}_2\text{ONO}_2$ ).

При дальнейшей элюции получали 0,11 г (68,7%) соединения (VIII),  $R_f$  0,53 (Б), сироп,  $[\alpha]_D^{20} -10,0^\circ$  (с 4,98;  $\text{CHCl}_3$ ); лит. данные [12]:  $[\alpha]_D^{13} -11,6^\circ$  (с 5,03;  $\text{CHCl}_3$ ).  $^1\text{H}$ -ЯМР: H-1 (4,52, д, 1H,  $J_{1,2}$  7,9); H-2 (4,88, дд, 1H,  $J_{2,3}$  9,6); H-3 (3,67, дд, 1H,  $J_{3,4}$  8,5); H-4 (3,52, дд, 1H,  $J_{4,5}$  9,8); H-5 (3,72, ддд, 1H,  $J_{5,6}$  2,4;  $J_{5,6'}$  5,4); H-6 (4,94, дд, 1H,  $J_{6,6'}$  11,9); H-6' (4,69, дд, 1H);  $\text{OCH}_3$  (3,42, с. 3H). Масс-спектр ацетата соединения (VIII),  $m/z$ : 337 ( $M-31$ ), 292 ( $M-\text{CH}_2\text{ONO}_2$ ), 262 ( $M-\text{CH}_3\text{OCHONO}_2$ ).

## ЛИТЕРАТУРА

1. Фирганг С. И., Шашков А. С., Усов А. И. Биоорганическая химия, 1983, т. 9, № 8, с. 1082–1088.
2. Bell D. J., Syngle R. L. M. J. Chem. Soc., 1937, № 10, р. 1711–1718.
3. Oldham J. W. H. J. Chem. Soc., 1925, № 12, р. 2840–2845.
4. Meara D. O., Shepherd D. M. J. Chem. Soc., 1955, № 12, р. 4232–4235.
5. Honeyman J., Stening T. C. J. Chem. Soc., 1958, № 2, р. 537–546.
6. Honeyman J., Morgan J. W. W. J. Chem. Soc., 1955, № 11, р. 3660–3674.
7. Maciel C. E. In: Topics in Carbon-13 NMR Spectroscopy/Ed. Levy G. C., 1974, v. 1, p. 53–77.
8. Feeney J., Sutcliffe L. H., Walker S. M. Molec. Phys., 1966, v. 11, p. 117–128.
9. Ansell E. G., Honeyman J. J. Chem. Soc., 1952, № 7, р. 2778–2789.
10. Ennor K. S., Honeyman J. J. Chem. Soc., 1958, № 7, р. 2586–2594.
11. Brissaud L. Mém. services chim. état., 1943, v. 30, р. 120–132; C. A., 1947, v. 41, р. 715–717.
12. Dewar J., Fort G., McArthur N. J. Chem. Soc., 1944, № 10, р. 499–501.

Поступила в редакцию  
5.VI.1986

## SYNTHESIS AND $^{13}\text{C}$ NMR SPECTRA OF METHYL $\beta$ -D-GLUCOPYRANOSIDE NITRATES. MIGRATION OF NITRATE GROUPS UNDER ACID HYDROLYSIS CONDITIONS

FIRGANG S. I., SHASHKOV A. S., USOV A. I., MARCHENKO G. N.,  
SOPIN V. F.

N. D. Zelinsky Institute of Organic Chemistry, Academy of Sciences  
of the USSR, Moscow

$^{13}\text{C}$  NMR spectra of twelve methyl  $\beta$ -D-glucopyranoside nitrates and three methyl 4,6-O-ethylidene- $\beta$ -D-glucopyranoside nitrates, differing in degree of substitution and/or position of nitrate groups, were obtained and interpreted. Changes in chemical shifts of carbon resonances as the result of nitration of different hydroxyl groups in the monosaccharide residue were determined. These changes in the position of anomeric carbon signals due to nitration at C-2 showed low but distinct dependence on the configuration of the glycosidic centre. Migration of nitrate groups during the hydrolysis of 4,6-O-ethylidene group was observed; similar migration of nitrate groups from positions 2, 3 and 4 to a free adjacent hydroxyl was shown to proceed under acid treatment of the corresponding methyl  $\beta$ -D-glucopyranoside nitrates in aqueous acetone.